

$B_2O_2(t)$ ,  $B_2O_3(t)$ , объясняется прямым образованием  $BO_2$  по стадиям 20, 22, 23. По достижении плато чистые скорости этих процессов, с одной стороны, резко падают, а с другой — скачком возрастают скорости стока  $BO_2$  по стадиям 24, 29, что и поддерживает квазистационарность  $BO_2$ . Подчеркнем, что эта феноменология реализуется на фоне высоких значений неравновесной термодинамической доли реакции 14. И только потом, на фазе интенсивного горения и догорания,  $BO_2$  частично доокисляется в  $B_2O_3$ , а частично раскисляется до  $B_2O_2$  по реакциям 21, 30.

Таким образом, квазигомогенная постановка и представленная кинетическая модель достаточно адекватно отражают реальный гетерогенный процесс воспламенения и горения бора.

#### ЛИТЕРАТУРА

- King M. K. Ignition and combustion of boron particles and clouds // J. Spacecraft and Rockets.— 1982.— 19, N 4.— P. 294—306.
- Mohan G., Williams F. A. Ignition and combustion of boron in  $O_2$  // Inert Atmospheres. AIAA J.— 1972.— 10, N 6.— P. 776—783.
- Macek A. Combustion of boron particles: Experiment and Theory // XIV Symp. on Combustion, 1972.— P. 1401—1411.
- Dimitrov V. I. Some mathematical modelling problems in chemical kinetics of highspeed processes // Arch. termod. i spalania.— 1975.— 6, N 1.— P. 545.
- Штерн В. Я. Окисление углеводородов в газовой фазе.— М.: Изд-во АН СССР, 1956.
- Bahn G. S. Gas phase chemical kinetic of boron combustion in dry air // Pyrody namics.— 1968.— 6, N 6.— P. 79—96.
- Hindmarsh A. S., Birne G. Effective packet of integration and solution of ordinary differential equation (EPISODE), USID 30112.— Univ. of California, 1978.— Rev. 1.
- Димитров В. И. Простая кинетика.— Новосибирск: Наука, 1982.
- Macek A., Semple I. M. Composition and combustion characteristics of condensed exhaust from boron-containing fuel-rich rocket motors // 9th JANNAF Combustion Meeting, CPIA, Publ. 231, 1972.— V. 1.
- Gurevich M. A., Kir'yanov I. M., Ozerov E. S. Combustion of individual boron particles // Combustion, Explosion and Shockwaves.— 1969.— 5, N 2.— P. 15—153.
- Macek A., Semple I. M. Combustion of boron particles at atmospheric pressure // Combust. Sci. Technol.— 1969.— 1.— P. 181—191.

г. Кишинев

Поступила в редакцию 23/I 1990

УДК 539.196.3

Е. Л. Давидчук, В. И. Димитров, В. А. Залож,  
Н. А. Славинская, Ю. И. Тулупов

#### КОЭФФИЦИЕНТЫ ПЕРЕНОСА ПРОДУКТОВ ГОРЕНИЯ БОРА В СУХОМ ВОЗДУХЕ

Проведен расчет коэффициентов диффузии, вязкости и теплопроводности для продуктов горения бора в сухом воздухе и их бинарных смесей. Полученные коэффициенты переноса описаны полиномом пятой степени от температуры.

В настоящее время все большее внимание привлекают металлы как возможный компонент горючего для энергетических установок, транспортных двигателей и т. д. Свойства бора, в частности его высокая массовая теплота сгорания, делают топлива на его основе одними из наиболее перспективных. Решение практических задач по такому использованию, однако, затруднено отсутствием необходимых экспериментальных и расчетных данных по кинетике горения В, а также по свойствам переноса В и его окислов.

С целью определения коэффициентов переноса для химически реагирующей смеси газов [1], образующейся в результате горения В в сухом воздухе, необходимых для математического моделирования процесса, на первом этапе по соотношениям молекулярно-кинетической теории рассчитаны коэффициенты диффузии  $D$ , вязкости  $\eta$ , теплопроводности  $\lambda$

для чистых компонентов реакции и их бинарных смесей. Расчеты проведены для диапазона температур  $T = 300 \div 4000$  К и давления  $p = 1$  МПа.

Чтобы упростить рассмотрение 11-компонентной смеси газов, включающей в себя B, O, N, B<sub>2</sub>, N<sub>2</sub>, O<sub>2</sub>, BO, B<sub>2</sub>O, BO<sub>2</sub>, B<sub>2</sub>O<sub>2</sub>, B<sub>2</sub>O<sub>3</sub>, принято допущение, что у молекул с близкими молекулярными массами коэффициенты бинарной диффузии, представляющие наибольший интерес, имеют малоотличимые значения. Отсюда по близости молекулярных масс компоненты смеси условно разделены на пять групп: 1) B, N, O, 2) B<sub>2</sub>, N<sub>2</sub>, BO, 3) B<sub>2</sub>O, BO<sub>2</sub>, 4) B<sub>2</sub>O<sub>2</sub>, 5) B<sub>2</sub>O<sub>3</sub>. Задача, таким образом, сводилась к определению коэффициентов переноса в первом приближении для N, N<sub>2</sub>, BO<sub>2</sub>, B<sub>2</sub>O<sub>2</sub>, B<sub>2</sub>O<sub>3</sub>. Свойства азотных пар хорошо известны и нами не рассматривались.

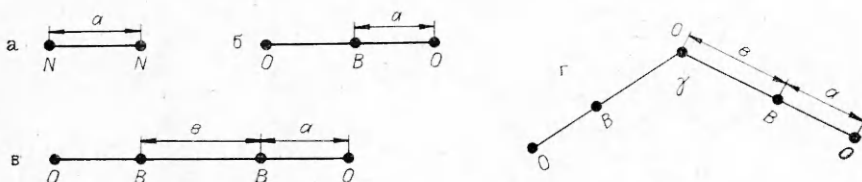
Необходимые для расчетов свойств переноса данные по параметрам потенциалов взаимодействия молекул для бора и его окислов в литературе практически отсутствуют. Приведенные в [2] параметры потенциала Леннарда — Джонса для BO<sub>2</sub>, B<sub>2</sub>O<sub>2</sub>, B<sub>2</sub>O<sub>3</sub> получены из линейных соотношений или приближенных правил, использующих значения  $T$  и  $p$  в критических точках. Глубина потенциальной ямы для B<sub>2</sub>O<sub>2</sub> в [2] принята равной глубине ямы для C<sub>2</sub>H<sub>2</sub>. Для перекрестных же потенциалов данные по параметрам вообще отсутствуют. Обычно в таких случаях их определяют, используя некоторые полуэмпирические правила комбинирования потенциалов чистых веществ или их параметров. Учитывая недостаточность обоснованности данных [2] для молекул и то, что правила комбинирования довольно грубы, мы использовали их только для атомов и отказались от их применения для молекулярных смесей.

Параметры потенциалов взаимодействия окислов бора определялись с помощью известного полуэмпирического метода атом-атомных потенциалов (AAP), предложенного Мейсоном [3] и апробированного на многих молекулярных системах [4, 5]. Метод AAP получил хорошее подтверждение рядом прямых квантово-механических расчетов и сопоставлением с экспериментами для некоторых систем.

Потенциал взаимодействия двух молекулярных систем  $V(R)$  в методе AAP выражается через потенциалы атом-атомных взаимодействий  $V_{ij}(r_{ij})$  в виде  $V(R) = \sum_{ij} V_{ij}$ . Зависимость расстояний между атомами от взаимной ориентации молекул ведет к угловой зависимости для полной энергии взаимодействия. В предположении, что потенциал  $\langle V(R) \rangle$  сферически симметричный, осреднение по ориентациям приводит к выражению:

$$\langle V(R) \rangle = \sum_i \sum_j \frac{1}{4a_i a_j R} \int_{R-a_i}^{R+a_i} ds \int_{s-a_i}^{s+a_i} V_{ij}(r_{ij}) dr, \quad (1)$$

где  $V_{ij}$  — потенциал взаимодействия между частицами  $i$  и  $j$ ;  $r_{ij}$  — расстояние между взаимодействующими атомами  $i$  и  $j$ ;  $a_i$ ,  $a_j$  — расстояние от атомов  $i$  и  $j$  до центра тяжести молекулы, к которой они принадлежат;  $R$  — расстояние между центрами тяжести взаимодействующих молекул;  $\theta$  — углы ориентации молекул;  $s^2 = R^2 + a_i^2 + a_j^2 - 2a_i a_j \cos \theta$  — рас-



Конфигурация и длины связей молекул.

$a = N_2$ ,  $a = 1,06 \text{ \AA}$ ;  $b = BO_2$ ,  $a = 1,27 \text{ \AA}$ ;  $c = B_2O_2$ ,  $a = 1,22 \text{ \AA}$ ,  $b = 1,70 \text{ \AA}$ ;  $d = B_2O_3$ ,  $a = 1,19 \text{ \AA}$ ,  $b = 1,34 \text{ \AA}$ ,  $\gamma = 135,8^\circ$ .

Таблица 1

Пара молекул	$\varepsilon_{ij}$ , К	$r_m$ , Å	$\alpha$	$\tau_{ij}$	Пара молекул	$\varepsilon_{ij}$ , К	$r_m$ , Å	$\alpha$	$\tau_{ij}$
BO <sub>2</sub> —BO <sub>2</sub>	822,6	4,53	28,81	4,216	B <sub>2</sub> O <sub>3</sub> —N	341,7	4,702	29,40	4,380
B <sub>2</sub> O <sub>2</sub> —B <sub>2</sub> O <sub>2</sub>	280,7	6,557	46,50	6,224	B <sub>2</sub> O <sub>2</sub> —N <sub>2</sub>	420,9	4,954	31,73	4,631
B <sub>2</sub> O <sub>3</sub> —B <sub>2</sub> O <sub>3</sub>	415,5	6,576	48,90	6,254	BO <sub>2</sub> —N <sub>2</sub>	821,4	3,926	23,30	3,615
BO <sub>2</sub> —N	552,2	3,670	20,67	3,355	B <sub>2</sub> O <sub>3</sub> —N <sub>2</sub>	522,2	4,957	32,54	4,639
B <sub>2</sub> O <sub>2</sub> —N	273,9	4,700	28,77	4,374	BO <sub>2</sub> —B <sub>2</sub> O <sub>2</sub>	457,2	5,540	37,60	5,225
					BO <sub>2</sub> —B <sub>2</sub> O <sub>3</sub>	561,4	5,556	38,75	5,237
					B <sub>2</sub> O <sub>2</sub> —B <sub>2</sub> O <sub>3</sub>	341,6	6,567	47,70	6,239

стояние атома от центра координат, который расположен в центре масс одной из взаимодействующих молекул.

В качестве межатомного потенциала взаимодействия  $V_{ij}(r_{ij})$  был выбран потенциал Леннарда — Джонса (12—6):

$$V_{ij}(r_{ij}) = 4\varepsilon_{ij} \left[ \left( \frac{\sigma_{ij}}{r_{ij}} \right)^{12} - \left( \frac{\sigma_{ij}}{r_{ij}} \right)^6 \right]. \quad (2)$$

Здесь  $\varepsilon_{ij}$  — глубина потенциальной ямы межчастичного взаимодействия;  $\sigma_{ij}$  — расстояние, соответствующее нулевому межчастичному потенциалу взаимодействия. Параметры межатомных потенциалов, взятые по [2, 6], а также рассчитанные по соотношениям

$$\sigma_{ij} = 0,5(\sigma_{jj} + \sigma_{ii}), \quad \varepsilon_{ij} = (\sigma_{ii}^6 \sigma_{jj}^6 \varepsilon_{ii} \varepsilon_{jj})^{1/2} / \sigma_{ij}^6, \quad (3)$$

приведены ниже.

Пары атомов	N—N	N—O	O—O	N—B	B—B	B—O
$\sigma_{ij}$ , Å	2,495	2,563	2,631	2,380	2,265	2,448
$\varepsilon_{ij}$ , К	419,0	351,2	295,6	1173,13	3331,0	975,7

Рассчитанные по методу ААП потенциальные кривые аппроксимировались затем модифицированным потенциалом Букингема — Корнера, который хорошо описывает потенциал как на больших, так и на малых расстояниях [7]:

$$V(r) = \begin{cases} \frac{\alpha\varepsilon}{\alpha-6} \left[ \frac{6}{\alpha} \exp\left(\alpha\left(1 - \frac{r}{r_m}\right)\right) - \left(\frac{r_m}{r}\right)^6 \right], & r \geqslant r_m, \\ \frac{\alpha\varepsilon}{\alpha-6} \left[ \frac{6}{\alpha} \exp\left(\alpha\left(1 - \frac{r}{r_m}\right)\right) - \left(\frac{r_m}{r}\right)^6 \exp\left(-4\left(\frac{r_m}{r} - 1\right)^3\right) \right], & r \leqslant r_m. \end{cases} \quad (4)$$

Здесь  $r_m$  — расстояние между частицами, соответствующее глубине потен-

Пары молекул	$\lambda_{ij}$						$\eta_{ij}$	
	$A_0 \cdot 10^3$	$A_1 \cdot 10^2$	$A_2 \cdot 10^2$	$A_3 \cdot 10^3$	$A_4 \cdot 10^4$	$A_5 \cdot 10^5$	$A_0 \cdot 10^6$	$A_1 \cdot 10^5$
BO <sub>2</sub> —BO <sub>2</sub>	2,309	2,624	0,783	-4,168	7,603	-4,975	-2,783	3,124
B <sub>2</sub> O <sub>2</sub> —B <sub>2</sub> O <sub>2</sub>	-0,562	2,755	-0,949	2,684	-3,893	2,221	-1,452	3,173
B <sub>2</sub> O <sub>3</sub> —B <sub>2</sub> O <sub>3</sub>	-1,241	2,019	-0,535	1,152	-1,247	0,508	-2,416	3,127
BO <sub>2</sub> —N	-6,491	7,186	-1,054	0,698	0,965	-1,240	-4,391	4,861
B <sub>2</sub> O <sub>2</sub> —N	-1,967	5,807	-1,946	5,491	-8,071	4,699	-1,401	4,435
B <sub>2</sub> O <sub>3</sub> —N	-3,693	2,841	-1,770	4,775	-6,783	3,845	-2,760	4,406
B <sub>2</sub> O <sub>2</sub> —N <sub>2</sub>	-2,728	3,466	-0,865	1,774	-1,862	0,748	-3,222	4,094
BO <sub>2</sub> —N <sub>2</sub>	-3,086	3,471	0,065	-1,650	3,533	-2,472	-3,352	3,770
B <sub>2</sub> O <sub>3</sub> —N <sub>2</sub>	-2,509	-849	-0,462	0,378	0,374	-0,596	-3,214	3,650
BO <sub>2</sub> —B <sub>2</sub> O <sub>2</sub>	-1,992	2,299	-0,529	0,993	-0,938	0,327	-3,055	3,526
BO <sub>2</sub> —B <sub>2</sub> O <sub>3</sub>	-1,691	1,855	-0,274	0,194	0,211	-0,287	-2,885	3,165
B <sub>2</sub> O <sub>2</sub> —B <sub>2</sub> O <sub>3</sub>	-1,419	1,680	-0,544	1,476	-2,107	1,200	-2,185	3,281

циальной ямы;  $\alpha$  — параметр потенциала Букингема — Корнера (мера крутизны).

Конфигурация и характерные размеры рассматриваемых молекул представлены на рисунке. Радиус атома азота  $r_e = 0,53$  Å. Для нахождения трех параметров  $\bar{\alpha} = \{\varepsilon, r_m, \alpha\}$  потенциала (4) использован нелинейный метод наименьших квадратов н-МНК [8, 9], сводящийся к минимизации квадратичного функционала

$$\Phi(a) = \sum_{j=1}^n \omega_j \left[ \langle V_i(R) \rangle - \left( V^{\text{Б-К}}(r) + \sum_{k=1}^3 \frac{\partial V}{\partial \alpha_k} \Delta \alpha_k \right)_j \right]^2, \quad (5)$$

где  $n$  — количество точек;  $a_k$  — параметр;  $V_j(R)$  — усредненный потенциал для  $j$ -го расстояния;  $V^{\text{Б-К}}(r)$  — потенциал Букингема — Корнера для  $j$ -го расстояния;  $\omega_j$  — статистический вес  $j$ -й точки, значение которого назначалось с учетом априорной информации о погрешностях исходных данных и самой модели. Это позволяет получить погрешности определяемых параметров, содержащие все исходные оценки [8]. В данном случае из-за отсутствия достоверной информации о погрешностях исходных параметров и модели строго можно получить лишь погрешности самого метода н-МНК.

Параметры потенциала Букингема — Корнера для исследованных веществ вместе со значениями  $\sigma_{ij}(V(\sigma)=0)$  приведены в табл. 1.

Коэффициенты переноса рассчитывались по соотношениям [1]

$$\begin{aligned} \eta_{ij} &= 266,93 \cdot 10^{-8} \left( \frac{\sqrt{2M_i M_j T / (M_i + M_j)}}{\sigma_{ij}^2 \Omega_{ij}^{(2,2)*} (T_{ij}^*)} \right), \text{ Па}\cdot\text{с}, \\ \lambda_{ij} &= 8,3 \cdot 10^{-4} \sqrt{\frac{T(M_i + M_j)/2M_i M_j}{\sigma_{ij}^2 \Omega_{ij}^{(2,2)*} (T_{ij}^*)}}, \text{ Дж/(м}\cdot\text{с}), \\ D_{ij} &= 26,28 \cdot 10^{-8} \left( \frac{\sqrt{T^3 (M_i + M_j)/2M_i M_j}}{p \sigma_{ij}^2 \Omega_{ij}^{(1,1)*} (T_{ij}^*)} \right), \text{ м}^2/\text{с}. \end{aligned} \quad (6)$$

Здесь  $M_i, M_j$  — молекулярные массы;  $\Omega_{ij}^{(l,s)*} (T_{ij}^*)$  — приведенный интеграл столкновений.

$\Omega_{ij}^{(l,s)*} (T_{ij}^*)$  для потенциала Букингема — Корнера приведены в [7]. Для удобства коэффициенты переноса, рассчитанные по (6), аппроксимировались 6-членным полиномом вида

$$Q_{ij} = A_0 + A_1 T + A_2 T^2 + A_3 T^3 + A_4 T^4 + A_5 T^5. \quad (7)$$

Значения аппроксимационных коэффициентов представлены в табл. 2.

Т а б л и ц а 2

$\eta_{ij}$				$D_{ij}$					
$A_2 \cdot 10^5$	$A_3 \cdot 10^6$	$A_4 \cdot 10^7$	$A_5 \cdot 10^8$	$A_0$	$A_1$	$A_2$	$A_3$	$A_4$	$A_5$
0,055	-1,470	3,153	-2,207	-0,370	0,310	7,592	-0,270	-0,045	0,0055
-1,058	2,967	-4,335	2,509	-0,363	1,229	4,244	-0,528	0,068	-0,0036
-0,799	1,682	-1,816	0,754	-0,0389	-0,0734	4,297	-0,7708	0,118	-0,0073
-0,713	0,472	0,653	-0,839	0,786	-4,236	27,250	-4,813	0,679	-0,0388
-1,385	3,910	-5,748	3,347	-1,192	4,091	13,250	-1,583	0,197	-0,01003
-1,323	3,568	-5,069	2,873	-0,974	2,841	12,930	-1,631	0,200	-0,0102
-1,021	2,096	-2,200	0,883	-0,082	-0,246	10,750	-1,907	0,287	-0,018
0,071	-1,792	3,838	-2,686	-0,564	0,462	11,640	-0,421	-0,067	0,008
-0,592	0,484	0,479	-0,763	0,324	-1,730	10,900	-2,113	0,325	-0,0203
-0,811	1,523	-1,438	0,561	-0,032	-0,295	7,262	-1,239	0,178	-0,0105
-0,467	0,331	0,360	-0,490	0,191	-1,055	6,977	-1,212	0,169	-0,0095
-1,063	2,882	-4,114	2,342	-0,306	0,900	3,917	-0,484	0,058	-0,0029

По изложенной схеме рассчитаны коэффициенты диффузии, вязкости и теплопроводности для пары  $N_2 - N_2$ . Результаты сравнивались с данными, рекомендованными [10]. Расхождение между ними изменялось от 2 % в районе  $T = 300$  К до 25 % в районе  $T = 3000$  К.

#### ЛИТЕРАТУРА

- Гиршфельдер Дж., Кертис Ч., Берд Р. Молекулярная теория газов и жидкостей.—М.: ИЛ, 1961.
- Термодинамические и теплофизические свойства продуктов сгорания.—Т. III. Топлива на основе кислорода и воздуха: Справочник/Под ред. В. П. Глушко, В. Е. Алемасова и др.—М.: Атомиздат, 1973.
- Vanderslice J. T. et al. Interactions between groundstate nitrogen atoms and molecules // J. Chem. Phys.—1959.—30, N 1.—P. 492—494.
- Соколова Н. А., Тирский Г. А. Расчет и аппроксимации интегралов столкновений компонентов смесей, содержащих О, Н, С, N, F, Na, S, Si и их соединения: Отчет института механики МГУ № 2857.—М., 1983.
- Герасимов Г. Я., Калинин А. П., Люстерник В. Е. и др. Интегралы столкновений, потенциалы атомно-молекулярных и ионно-молекулярных взаимодействий компонентов воздуха до 20000 К/Обзоры по теплофизическими свойствам веществ.—М., 1987.—№ 5.
- Термодинамические свойства индивидуальных веществ.—Т. III. Элементы B, Al, ... Ba и их соединения. Кн. 1. Вычисление термодинамических свойств: Справочник/Под ред. В. П. Глушко, Л. В. Гурвича и др.—М.: Наука, 1981.
- Reiter F. W. Zwischenmolekulare krafte in gasen // Ber. Bussenges. Phys. Chemie.—1970.—B. 74.—S. 562—568.
- Худсен Д. Статистика для физиков.—М.: Мир, 1970.
- Фокин Л. Р., Славинская Н. А. Корреляция теплофизических свойств разреженных газовых смесей на примере Ar—Xe/TBT.—1987.—25, № 1.—С. 46—51.
- Варгафтик И. Б. Справочник по теплофизическими свойствам газов и жидкостей.—М.: Наука, 1972.

г. Кишинев

Поступила в редакцию 23/1 1990

УДК 534.222

Н. Н. Смирнов

#### МОДЕЛЬ ГОРЕНИЯ ПОРИСТЫХ ДИСПЕРГИРУЮЩИХСЯ ТОПЛИВ

Исследование распространения конвективного горения в каналах, трещинах и порах в твердых топливах посвящено большое количество работ [1—6]. При этом в большинстве из них используются модели, учитывающие различие давлений в газе и напряжений в конденсированной фазе. Горение аэровзвесей унитарных топлив также достаточно подробно исследовано (см. [7] и указанную там литературу), причем давление в частицах предполагается равным давлению в газе. В работе [6] учитывается возможность объединения двух указанных моделей.

При горении пористых топлив на некотором этапе возможно диспергирование заряда на отдельные частицы и крупные агломераты, которые продолжают гореть. В момент диспергирования объемное содержание конденсированной фазы еще достаточно велико и частицы могут взаимодействовать друг с другом. По мере выгорания частиц их объемное содержание уменьшается и в конечном итоге имеет место течение однофазной газовой смеси. При диспергировании ввиду нестационарности процесса разрушения и различных диаметров пор в момент разрушения образуются частицы различных размеров и форм, что определяет различие в законах горения частиц разных видов. Однако полидисперсность смеси и взаимодействие частиц друг с другом и между частицами различных видов в задачах горения до настоящего времени не учитывались.

Цель данной работы — разработка замкнутой математической модели для описания нестационарных процессов горения пористых, скимаемых,